

九州工業大学 正員 ○渡辺義則
 東京大学 学員 村田真哉
 東京大学 正員 角知憲

1. まえがき

本報告で用いる騒音予測計算モデル(線形モデルと仮称)は多入力線形系の諸性質を利用したものであり、原理的には信号機などの外乱を受けて変動する道路交通流から騒音の予測、あるいはまた、普段の交通を妨害しないで、隋意の時期に、隋意の道路区間の伝搬特性の把握などが可能である。現在、この線形モデルの現実への適用性を検討中であるが、ここでは①同一道路区間での荷重関数の推定値のばらつき、および、騒音予測値と実測値の差のばらつきの程度、②線形モデルを将来予測などに幅広く利用するための道路区間の伝搬特性の類型化の方法、について検討した結果を報告する。

2. 騒音並びに交通特性の測定

測定は郊外の対向2車線の国道で行った。現場付近の道路の線形は直線に近く、測点側は刈り入れのすんだ田園で構造物はなく、LA NE1は1.2%の上り勾配である。騒音は図-1の箇所で精密騒音計データレコーダーに収録し、後日、動特性fast, サンプリング時間间隔 $\Delta T = 2$ 秒で5/2テの騒音レベルの瞬時値を読み取った。車両走行速度は8mmカメラを用いて求め、車種はナンバーとレートから音響学会の方法に従って3種に分類した。図-1のA地点での車両発生時刻と騒音波形との対応はデータレコーダーに騒音と車両通過に同期した電気信号を同時に収録して行った。なお、ここでは車両の最後尾がA地点を通過する時刻をもつて車両発生時刻と考えた。表-1に交通特性を示す。本報告では、M1～M4の各観測点につき約6ヶ所の荷重関数の推定値と騒音予測値をデータ長T=1024秒、 $\Delta T=2$ 秒で求めていたが、表-1はこのとき使用したデータの交通特性に関する諸数値の範囲と平均値である。

3. 検討結果

荷重関数を推定する手順は①対象道路区間の交通特性並びに騒音の同時測定を行う。②前述のデータ長、サンプリング時間间隔で各時刻の騒音レベルと車線別の換算車両台数を求め、前者から観測点の音の強さ、後者から音源の音響出力の時間変動を算出する。③両車線上を走行する車両から発生する音響出力を入力、観測点の音の強さを出力とする二入力1出力の定係数線形系と考え、各データ間のクロス、パワーの各スペクトルを求め、これを用いて周波数応答関数を算定する。④周波数応答関数を逆アーリエ変換し、車線別に時間領域の荷重関数を得る。これが対象道路区間の伝搬特性を表現する。

表-2に以上の手順で得た荷重関数の推定値と時間間にについて平均した値とその変動係数を示す(M1～M3は6ヶ、M4は4ヶの平均)。なお、荷重関数はt=0に関して対称であると仮定している。また、荷重関数が負の値をとることは物理的に不合理であるので、表には平均値が正である時間範囲の値しか示していない。

荷重関数の推定値とともに、対象道路区間の伝搬特性を類型化する一つの方法として以下の方法があげられる。

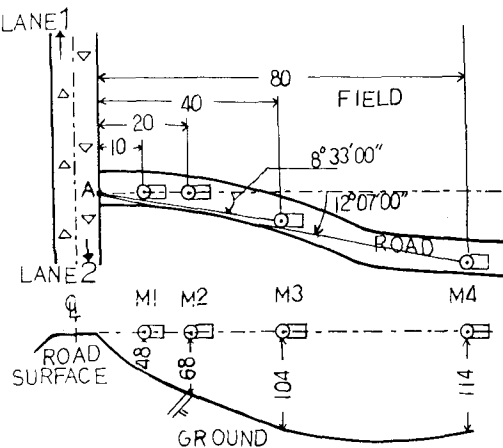


図-1 騒音測定位置

表-1 交通特性

	範囲	平均値
時間交通量(V.P.H)	628～896	742
大型車混入率	.13～.36	.24
平均速度 (km/h)	LANE1 43～48 LANE2 46～52	46 49

*データ数は12

伝搬特性を荷重関

数の推定値 γ 、音

源と観測点間の距

離 r 、定数 a , b

を用いて、 $y = a \cdot r^b$

の関数型で表現で

きると仮定する。

$a = 1/2\pi$, $b = -2$

が半自由空間の幾

何学的伝搬特性に

相当する。いま、

車線じの音源は車

線中央を平均速度

V_i で移動し、時間

たの時に図-1

のA点から車線に

沿って $V_i \cdot t$ の距

離に存在すると仮

定して γ を算出し

表-2の推定値(

但し、変動係数1

表-2 荷重関数の推定値(平均値)

$\times 10^{-6} \text{ m}^{-2}$

測定点 LANE	0	2	4	6	8
M1	1 394 (.18)	74 (.94)	3 (.93)	—	—
	2 435 (.19)	25 (1.19)	80 (1.06)	13 (2.20)	4 (13.08)
M2	1 123 (.27)	40 (.35)	12 (2.43)	—	—
	2 118 (.25)	44 (.45)	22 (1.36)	4 (2.29)	7 (3.91)
M3	1 44 (.27)	31 (.51)	9 (1.02)	6 (1.04)	6 (1.74)
	2 30 (.29)	21 (.33)	13 (1.02)	6 (1.99)	—
M4	1 10 (.44)	8 (.66)	6 (.66)	3 (.54)	2 (.40)
	2 7 (.26)	5 (.14)	4 (.76)	1 (.95)	1 (1.42)

(注) ()は変動係数、—は負の値であることを示す

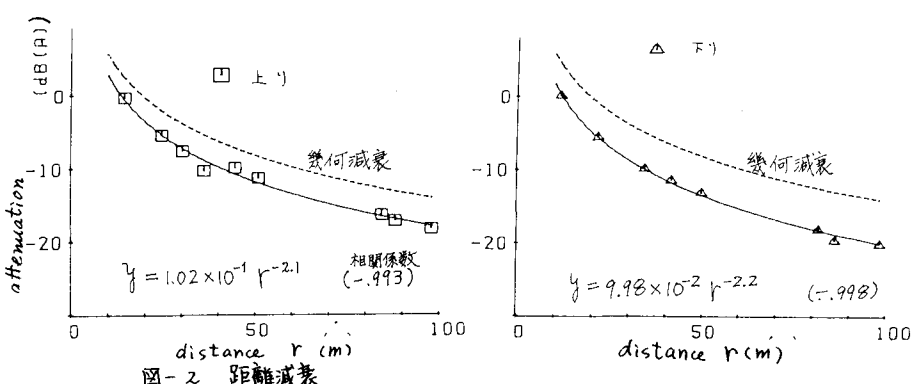


図-2 距離衰減

以下、 $r \leq 100 \text{ m}$ の条件を満たすところと対応させる。図-2は表-2のM1・LANE2・ $t=0$ の推定値を基準にして dB 単位で表現した γ と r の関係を示す。回帰分析結果から両者の相関はかなりよい。

次に、推定した荷重関数を使って騒音を予測し、実測値と比較して図-3に示す。なお、荷重関数推定期間に使用したデータは比較の対象から除いている。また①荷重関数は $t=0$ から正の値となる時間範囲の値を用い、それ以外の荷重関数の値は零とする。②騒音レベルの瞬時値の最低値を暗騒音レベルと考える。図-3から各種統計量とも±3 dB 以内で殆んど予測されていく。

今後、類似の道路環境と思われる区間にあって安定した関数表現が可能か否か、道路の縦断配分影響などを検討しつつ、道路区間の伝搬特性を数種類の関数で表現することを試みる予定である。

終りに、本研究の実施に御助力いただいた福岡市 西田田典氏に深謝します。

1) 渡辺他：線形モデルによる道路交通騒音の予測、第36回土木学会年次学術講演概要集Ⅱ